

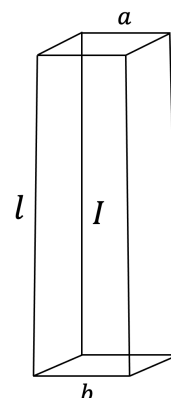
Versão: 1{2}

Duração do Teste: 1h 30m

 $\epsilon_0 = 8,854 \times 10^{-12} \text{ F/m}$, $\mu_0 = 4\pi \cdot 10^{-7} \text{ N/A}^2$

Por determinação do Conselho Pedagógico, informamos que só serão cotadas as respostas que contribuam de forma significativa para os resultados ou demonstrações pedidas.

- (3,0) 1) Uma resistência elétrica, constituída por um material de condutividade elétrica $\sigma = 5,97\{3,8\} \times 10^7 \Omega^{-1}\text{m}^{-1}$, possui uma forma piramidal de base quadrada e de altura $l = 2\{4\} \text{ m}$, em que o topo superior possui um lado $a = 0,1\{0,2\} \text{ m}$ e a base inferior um lado $b = 0,12\{0,22\} \text{ m}$. A inclinação do cone é pequena ($b \approx a$ face a l), pelo que se pode considerar a densidade de corrente sempre paralela ao eixo do cone. A figura não está à escala!



Sabendo que a resistência é percorrida por uma corrente $I = 5\{4\} \text{ A}$, calcule

- [1,0] a) a densidade de corrente elétrica ao longo do condutor;
[R: Seja o sentido da corrente de baixo para cima, definindo assim também o eixo \vec{e}_z . A densidade de corrente varia com z , pois a área da secção transversal varia com z e a corrente total assume-se uniforme na secção transversal. A área da secção transversal é $S(z) = \left(b - \frac{b-a}{l}z\right)^2$ e a densidade de corrente elétrica é assim $\vec{J} = \frac{I}{S(z)}\vec{e}_z = \frac{I}{\left(b - \frac{b-a}{l}z\right)^2}\vec{e}_z = \frac{1}{(0,054\{0,11\} - 4,47\{2,5\} \times 10^{-3}z)^2}\vec{e}_z \text{ (A/m}^2\text{)}.]$
- [0,5] b) o campo elétrico ao longo do condutor;
[R: $\vec{E} = \frac{1}{\sigma}\vec{J} = \frac{1}{5,97\{3,8\} \times 10^7 (0,054\{0,11\} - 4,47\{2,5\} \times 10^{-3}z)^2}\vec{e}_z = \frac{1}{(414\{679\} - 34,5\{15,4\}z)^2}\vec{e}_z \text{ (V/m)}.]$
- [1,0] c) a resistência elétrica do condutor; particularize o resultado para um condutor na forma de um paralelepípedo ($b = a$);
[R: $R = \int_0^l \frac{dz}{\sigma S(z)} = \int_0^l \frac{dz}{\sigma \left(b - \frac{b-a}{l}z\right)^2} = \frac{l}{\sigma(b-a)} \left(\frac{1}{b - \frac{b-a}{l}z} \right) \Big|_0^l = \frac{l}{\sigma(b-a)} \left(\frac{1}{a} - \frac{1}{b} \right) = \frac{l}{\sigma ab} = 2,79\{2,39\} \mu\Omega$;
para o caso particular $b = a$, temos $R = \frac{1}{\sigma a^2} = 3,35\{2,63\} \mu\Omega$.]
- [0,5] d) a tensão elétrica entre a base e o topo.
[R: $V = RI = 14,0\{9,6\} \mu\text{V}$.]

- (3,0) **2)** Considere um solenoide de comprimento $l = 2\{4\}$ m, secção circular de raio $R = 0,05\{0,1\}$ m, com $N = 2000\{4000\}$ espiras transportando uma corrente $I = 4\{5\}$ A.

Usando as aproximações que achar convenientes,

- [1,0] **a)** Calcule o campo magnético no interior do solenoide, longe das extremidades;

[R: Como $l \gg R$, podemos assumir a aproximação do solenoide infinito, no interior do solenoide e longe das extremidades. Usamos a lei de Ampère para uma linha fechada, constituída por 4 segmentos de recta paralelos formando um rectângulo, sendo um dos lados de tamanho L coincidente com o eixo do solenoide (eixo \vec{e}_z), e o lado oposto fora do solenoide, por ex^o à distância $d = 2R$. A corrente que atravessa a superfície delimitada por este rectângulo é nLI , em que $n = \frac{2000\{4000\}}{2\{4\}} = 1000$ espiras/m é a densidade linear de espiras. A lei de Ampère diz-nos então que

$\oint \vec{B} \cdot d\vec{s} = \mu_0 I_{\text{int}} = \mu_0 nLI \Leftrightarrow B_I \cdot L + 0 + B_E \cdot L + 0 = \mu_0 nLI \Leftrightarrow B_I + B_E = \mu_0 nI$, pois o campo \vec{B} é paralelo ao eixo do solenoide, e não depende da coordenada z enquanto estivermos longe das extremidades. Por outro lado, usando o mesmo rectângulo mas com o lado exterior a uma distância maior, por ex^o $d' = 4R$, a lei de Ampère diz-nos que $\oint \vec{B} \cdot d\vec{s} = \mu_0 nLI \Leftrightarrow B_I \cdot L + B'_E \cdot L = \mu_0 nLI \Leftrightarrow B_I + B'_E = \mu_0 nI$. Assumindo ainda que no infinito o campo deve ser nulo, concluímos assim que $B_E = B'_E = 0$, e que $B_I = \mu_0 nI$. Usando agora o rectângulo inicial, mas em que o lado interior não esteja no eixo do solenoide, mas a uma distância $R/2$ deste, temos

$\oint \vec{B} \cdot d\vec{s} = \mu_0 I_{\text{int}} = \mu_0 nLI \Leftrightarrow B'_I \cdot L + B_E \cdot L = \mu_0 nLI \Leftrightarrow B'_I = B_I = \mu_0 nI$. Concluímos finalmente que, longe das extremidades, o campo magnético no interior do solenoide é uniforme e dado por $\vec{B} = \mu_0 nI \vec{e}_z = \mu_0 1000 \cdot 4\{5\} \vec{e}_z = 5,03\{6,28\} \vec{e}_z$ (mT) .]

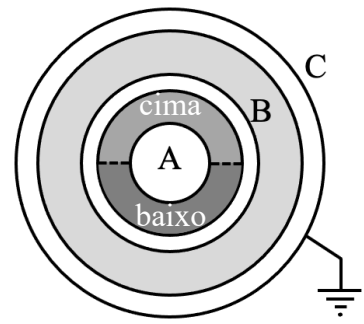
- [1,0] **b)** Calcule o coeficiente de auto-indução do solenoide;

[R: O coeficiente de auto-indução é dado pela expressão $L = \frac{\Phi}{I}$ sendo $\Phi = N\Phi_1$ e Φ_1 o fluxo que atravessa uma espira (ou a secção circular do solenoide). Temos então, usando a aproximação do solenoide infinito, $L = \frac{N}{l} \iint \vec{B} \cdot \vec{n} dS \Leftrightarrow L = \frac{N}{l} \cdot \mu_0 nI \cdot \pi R^2 = \mu_0 n^2 l \pi R^2 = 19,7\{158\}$ mH.]

- [1,0] **c)** Estime a intensidade do campo magnético no eixo do solenoide numa das extremidades, justificando a sua resposta (sugestão: tire partido da aproximação realizada e da simetria do sistema).

[R: Para calcular o campo magnético numa das extremidades, em que já não podemos assumir a aproximação do solenoide infinito, notamos que, se tivéssemos um solenoide igual colado ao solenoide original, a aproximação do solenoide infinito era válida e estaríamos no centro desse novo solenoide com o dobro do comprimento, onde o campo magnético seria $\vec{B} = \mu_0 nI \vec{e}_z$. Ora este campo também é a soma da contribuição do solenoide do lado esquerdo, com a contribuição do solenoide do lado direito, que tem de ser igual dada a simetria. Temos então que $2B_{\text{extremo}} = \mu_0 nI$ ou que $B_{\text{extremo}} = \frac{\mu_0 nI}{2} = \frac{5,03\{6,28\}}{2} = 2,51\{3,14\}$ (mT) .]

- (4,0) **3)** Considere o sistema da figura, representando três **condutores A, B e C**, de simetria **CILÍNDRICA**. O **condutor A**, maciço e de raio $R_A = 0,05\{0,1\}$ m, está rodeado por 2 meios LHI* de constantes dielétricas respectivamente iguais a $\epsilon_{\text{cima}} = 4\{3\}\epsilon_0$ e $\epsilon_{\text{baixo}} = 8\{6\}\epsilon_0$, com formas semi-cilíndricas, por uma coroa cilíndrica **B condutora** de raio interior $R_{BI} = 0,10\{0,30\}$ m e raio exterior $R_{BE} = 0,12\{0,32\}$ m, por um meio com constante dielétrica $\epsilon_3 = 2\{4\}\epsilon_0$ e por uma coroa cilíndrica condutora **C** de raios interior $R_{CI} = 0,20\{0,50\}$ m e raio exterior $R_{CE} = 0,25\{0,55\}$ m. A coroa cilíndrica condutora **C está ligada à Terra** (potencial 0 V). O condutor A tem uma densidade de carga (livre) $\lambda_A = 10\{20\}$ nC/m e o condutor **B não está carregado**. (...!)



- [1,0] **a)** Calcule o campo elétrico em todo o espaço (*tenha em atenção a continuidade do campo elétrico*);
 [R: Estando o condutor exterior ligado à Terra e não havendo mais cargas entre os cilindros e o infinito, onde o campo é nulo, podemos assumir que o campo é nulo para $r > R_{CE}$. Como no interior dos condutores em equilíbrio eletrostático também temos campo elétrico nulo, podemos escrever que $\vec{E} = 0$ para $r > R_{CI}$, $R_{BE} > r > R_{BI}$, e $r < R_A$. Para calcular o campo nas outras regiões, usamos a simetria do sistema para afirmar que o campo elétrico só pode ter componente perpendicular ao eixo axial dos cilindros, $\vec{E} = E(r)\vec{e}_R$, e usamos T.Gauss para $\vec{D} = \epsilon\vec{E}$, numa superfície cilíndrica fechada de comprimento l e raio r (distância ao eixo dos cilindros): $\oint \vec{D} \cdot \vec{n} dS = Q_{\text{int}}$. Para $R_{BE} < r < R_{CI}$, em que o meio é homogêneo, a carga interior é apenas $Q_{\text{int}} = Q_A$, pois $Q_B = 0$. Temos $D(R) \cdot 2\pi r l = Q_A = \lambda_A l \Leftrightarrow \vec{E} = \frac{\vec{D}}{\epsilon} = \frac{\lambda_A}{2\{4\}\epsilon_0 \cdot 2\pi r} \vec{e}_z = \frac{10\{20\} \times 10^{-9}}{4\{8\}\pi \epsilon_0 r} \vec{e}_R \cong \frac{90\{90\}}{r} \vec{e}_R$ (V/m). Para $R_A < r < R_{BI}$, o meio não é homogêneo, mas separado em dois meios iguais com a superfície de separação perpendicular ao eixo dos cilindros. Ora, como o campo elétrico é tangencial a esta superfície, tem de ser contínuo, isto é, temos de ter à distância r os campos iguais, $E_{\text{cima}} = E_{\text{baixo}} = E(R)$, o que implica para o campo de deslocamento elétrico que $D_{\text{cima}} = \epsilon_{\text{cima}} E(R) = \frac{\epsilon_{\text{cima}}}{\epsilon_{\text{baixo}}} D_{\text{baixo}}$. A expressão para o teorema de Gauss permite-nos afirmar que $\oint \vec{D} \cdot \vec{n} dS = Q_{\text{int}} = \lambda_A l \Leftrightarrow D_{\text{cima}} \pi r l + D_{\text{baixo}} \pi r l = \lambda_A l \Leftrightarrow \epsilon_{\text{cima}} E(r) \pi r l + \epsilon_{\text{baixo}} E(r) \pi r l = \lambda_A l$, obtendo então para o campo elétrico a expressão $\vec{E} = \frac{\lambda_A}{(\epsilon_{\text{cima}} + \epsilon_{\text{baixo}}) \pi r} \vec{e}_R = \frac{10\{20\} \times 10^{-9}}{12\{9\} \pi \epsilon_0 r} \vec{e}_R \cong \frac{30\{80\}}{r} \vec{e}_R$ (V/m). Resumindo, temos: $\vec{E} = E(R) \vec{e}_R = 0$, excepto em $R_A < r < R_{BI}$: $E(R) = \frac{30\{80\}}{r}$ e $R_{BE} < r < R_{CI}$: $E(R) = \frac{90\{90\}}{r} \left(\frac{V}{m}\right)$.]
- [1,0] **b)** Calcule o potencial elétrico em todo o espaço;
 [R: Como o campo elétrico no exterior é nulo e o condutor C está ligado à Terra, o potencial é nulo para $r \geq R_{CI}$.
 Para $R_{BE} \leq r \leq R_{CI}$, $\phi(r) = \int_r^{R_{CI}} \vec{E} \cdot d\vec{l} + \phi_C = \int_r^{R_{CI}} \frac{90\{90\}}{r} dr + 0 = 90\{90\} \log \frac{0,2\{0,5\}}{r}$ (V),
 obtendo para $R_{BI} \leq r \leq R_{BE}$: $\phi(r) = \phi_B = \phi(r = R_{BE}) = 90\{90\} \log \frac{0,2\{0,5\}}{0,12\{0,32\}} \cong 46,0\{40,2\}$ (V);
 para $R_A \leq r \leq R_{BI}$, $\phi(r) = \int_r^{R_{BI}} \vec{E} \cdot d\vec{l} + \phi_B = \int_r^{R_{BI}} \frac{30\{80\}}{r} dr + 46,0\{40,2\}$, ou
 $\phi(r) = 30\{80\} \log \frac{R_{BI}}{r} + 46,0\{40,2\} = 30\{80\} \log \frac{0,10\{0,30\}}{r} + 46,0\{40,2\}$ (V), obtendo para
 $r \leq R_A$: $\phi(r) = \phi_A = \phi(r = R_A) = 30\{80\} \log \frac{0,10\{0,30\}}{0,05\{0,10\}} + 46,0\{40,2\} = 66,8\{128\}$ (V).]
- [1,0] **c)** Calcule a capacidade do sistema por unidade de comprimento;
 [R: $C = Q/V = Q_A/(\phi_A - \phi_C) \Leftrightarrow C/l = \lambda_A/\phi_A = 10\{20\}$ nC/66,8{128} = 150{156} pF.]
- [1,0] **d)** Calcule as densidades **superficiais** de carga (**livre, σ**) nas superfícies de separação entre os meios.
 [R: Só existem cargas livres nas superfícies dos condutores A, B e C. Para cada superfície podemos usar a descontinuidade $(\vec{D}_2 - \vec{D}_1) \cdot \vec{n} = \sigma$, com $\vec{D}_{2(1)} \cdot \vec{n} = D(R_X^{+(-)})$ para a superfície em R_X . Temos assim, em nC/m², $\sigma_{CE} = 0$, $\sigma_{CI} = \epsilon_3 \frac{90}{R_{CI}} = -7,96\{-6,37\}$, $\sigma_{BE} = \epsilon_3 \frac{90}{R_{BE}} = 13,3\{9,95\}$ nC/m². Em R_{BI} e R_A , temos de separar as cargas nas calotes de cima das de baixo, $\sigma_{BI \text{ cima}} = -\epsilon_{\text{cima}} E(R_{BI}^-) = -10,6\{-7,1\}$ e $\sigma_{BI \text{ baixo}} = -\epsilon_{\text{baixo}} E(R_{BI}^-) = -21,2\{-14,2\}$, $\sigma_{A \text{ cima}} = \epsilon_{\text{cima}} E(R_A^+) = 21,25\{21,25\}$, $\sigma_{A \text{ baixo}} = \epsilon_{\text{baixo}} E(R_A^+) = 42,5\{42,5\}$.]